

**Sistemi Dinamici**  
**Corso di Laurea in Matematica**  
**Compito del 17-07-2019**

**Esercizio 1. (10 punti)** Dato il sistema

$$\begin{cases} \dot{x} = -x \arctan(1 - y^2) \\ \dot{y} = y \arctan(x^2 - 1) \end{cases}$$

- (i) studiare il ritratto di fase;  
(ii) dire se l'insieme  $U = \{(x, y) \in \mathbb{R}^2 : -1 \leq x \leq 1, -1 \leq y \leq 1\}$  è positivamente invariante, e determinare l'insieme  $\omega$ -limite dei punti di  $U$ .

**Esercizio 2. (10 punti)** Si consideri il sistema

$$\begin{cases} \dot{x} = x \left( \log_2(1 + x^2 + y^2) + \mu + \sqrt{x^2 + y^2} \right) - y \\ \dot{y} = y \left( \log_2(1 + x^2 + y^2) + \mu + \sqrt{x^2 + y^2} \right) + x \end{cases}$$

al variare del parametro  $\mu \in \mathbb{R}$ .

- (i) Disegnare il ritratto di fase al variare di  $\mu$ .  
(ii) Fissato  $\mu = -2$ , indicando con  $(x(t, (1, 0)), y(t, (1, 0)))$  la soluzione del sistema con condizione iniziale  $(x_0, y_0) = (1, 0)$  al tempo  $t$ , determinare  $(x(3\pi, (1, 0)), y(3\pi, (1, 0)))$ .

**Esercizio 3. (10 punti)** Dato l'intervallo  $[0, 1]$ , si consideri la partizione  $\mathcal{J} = \{J_1, J_2, J_3\}$  con  $J_1 = [0, \frac{1}{3}]$ ,  $J_2 = [\frac{1}{3}, \frac{2}{3}]$  e  $J_3 = [\frac{2}{3}, 1]$ , e la funzione  $f : [0, 1] \rightarrow [0, 1]$  definita da

$$f(x) = \begin{cases} 1 - 2x, & x \in J_1 \\ \frac{2}{3} - x, & x \in J_2 \\ x - \frac{2}{3}, & x \in J_3 \end{cases}$$

- (i) Costruire l' $f$ -grafo di  $\mathcal{J}$ .  
(ii) Dire se esiste un'orbita periodica di periodo minimo 5.  
(iii) Dire se esiste un'orbita periodica di periodo minimo 20.

## Svolgimento

**Esercizio 1.** Dato il sistema

$$\begin{cases} \dot{x} = -x \arctan(1 - y^2) \\ \dot{y} = y \arctan(x^2 - 1) \end{cases}$$

(i) studiare il ritratto di fase;

Cerchiamo innanzitutto i punti fissi del sistema. Si tratta delle soluzioni del sistema

$$\begin{cases} x \arctan(1 - y^2) = 0 \\ y \arctan(x^2 - 1) = 0 \end{cases}$$

che sono i punti  $Q_1 = (0, 0)$ ,  $Q_2 = (-1, -1)$ ,  $Q_3 = (-1, 1)$ ,  $Q_4 = (1, -1)$  e  $Q_5 = (1, 1)$ .

La matrice Jacobiana del campo di vettori è data da

$$JF(x, y) = \begin{pmatrix} -\arctan(1 - y^2) & \frac{2xy}{1+(1-y^2)^2} \\ \frac{2xy}{1+(x^2-1)^2} & \arctan(x^2 - 1) \end{pmatrix}$$

e quindi:

$$JF(Q_1) = \begin{pmatrix} -\frac{\pi}{4} & 0 \\ 0 & -\frac{\pi}{4} \end{pmatrix}$$

gli autovalori sono entrambi negativi e uguali, quindi  $Q_1$  è un nodo stabile, di tipo stella nella linearizzazione;

$$JF(Q_2) = JF(Q_5) = \begin{pmatrix} 0 & 2 \\ 2 & 0 \end{pmatrix}$$

con determinante negativo. Dunque la matrice ha due autovalori reali discordi, e quindi  $Q_2$  e  $Q_5$  sono punti di sella;

$$JF(Q_3) = JF(Q_4) = \begin{pmatrix} 0 & -2 \\ -2 & 0 \end{pmatrix}$$

con determinante negativo. Dunque la matrice ha due autovalori reali discordi, e quindi  $Q_3$  e  $Q_4$  sono punti di sella.

Per disegnare il ritratto di fase è utile studiare il segno del campo vettoriale. Andiamo inoltre alla ricerca di rette invarianti. Si osserva innanzitutto che  $\{x = 0\}$  e  $\{y = 0\}$  sono invarianti, e inoltre per  $a, b \neq 0$  si ha

$$\begin{aligned} \frac{d}{dt}(ax + by)|_{ax+by=0} &= \left( -ax \arctan(1 - y^2) + by \arctan(x^2 - 1) \right)|_{ax+by=0} = \\ &= by \left( \arctan(1 - y^2) + \arctan \left( \frac{b^2}{a^2} y^2 - 1 \right) \right) \equiv 0 \quad \Leftrightarrow \quad b^2 = a^2 \end{aligned}$$

Quindi  $\{y = \pm x\}$  sono altre due rette invarianti.

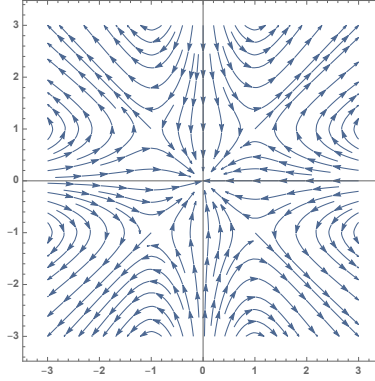


Figure 1: Il ritratto di fase dell'es. 1

Per quanto riguarda l'esistenza di orbite periodiche, possiamo usare l'indice di Poincaré per osservare innanzitutto che un'orbita periodica deve circondare necessariamente  $Q_1$ . Ma l'esistenza delle due rette invarianti  $\{x = 0\}$  e  $\{y = 0\}$  ne escludono l'esistenza.

In conclusione ritroviamo il ritratto di fase di figura 1.

(ii) dire se l'insieme  $U = \{(x, y) \in \mathbb{R}^2 : -1 \leq x \leq 1, -1 \leq y \leq 1\}$  è positivamente invariante, e determinare l'insieme  $\omega$ -limite dei punti di  $U$ .

I vertici del quadrato  $U$  sono punti fissi, e dunque i vertici sono  $\omega$ -limite di loro stessi. Inoltre il campo di vettori è rivolto verso l'interno di  $U$  lungo tutti i punti del bordo diversi dai vertici. Quindi l'insieme  $U$  è positivamente invariante.

Infine, tutte le orbite con condizione iniziale in  $U$ , diversa dai vertici, deve restare dentro  $U$ . Poiché l' $\omega$ -limite ha la proprietà di essere un insieme chiuso e invariante, e l'unico insieme chiuso e invariante nella parte interna di  $U$  è il punto fisso  $Q_1$ , ne segue che  $Q_1$  è necessariamente l'insieme  $\omega$ -limite di ogni punto di  $U$  diverso dai vertici.

**Esercizio 2.** Si consideri il sistema

$$\begin{cases} \dot{x} = x \left( \log_2(1 + x^2 + y^2) + \mu + \sqrt{x^2 + y^2} \right) - y \\ \dot{y} = y \left( \log_2(1 + x^2 + y^2) + \mu + \sqrt{x^2 + y^2} \right) + x \end{cases}$$

al variare del parametro  $\mu \in \mathbb{R}$ .

(i) Disegnare il ritratto di fase al variare di  $\mu$ .

Riscrivendo il sistema in coordinate polari, quindi con

$$\dot{\rho} = \frac{x \dot{x} + y \dot{y}}{\rho} \quad \dot{\theta} = \frac{-\dot{x} \sin \theta + \dot{y} \cos \theta}{\rho}$$

si ottiene

$$\begin{cases} \dot{\rho} = \rho \left( \log_2(1 + \rho^2) + \mu + \rho \right) \\ \dot{\theta} = 1 \end{cases}$$

in cui le equazioni differenziali per  $\rho$  e  $\theta$  sono disaccoppiate, e dunque il sistema è semplice da studiare. In particolare, si osserva che per la variabile  $\theta$  la soluzione è

$$\theta(t) = t + \theta(0),$$

mentre il comportamento della soluzione per la variabile  $\rho$  dipende dal segno di  $\dot{\rho}$ , che a sua volta dipende dal valore di  $\mu$ .

Se  $\mu \geq 0$ , allora  $\dot{\rho} \geq 0$  per ogni  $\rho \in [0, +\infty)$ , e  $\dot{\rho} = 0$  se e solo se  $\rho = 0$ . Dunque, abbiamo il punto fisso  $(0, 0)$ , che è un fuoco instabile, e tutte le altre condizioni iniziali  $(x_0, y_0)$  portano a una soluzione che per  $t \rightarrow +\infty$  tende all'infinito con moto a spirale, e per  $t \rightarrow -\infty$  tende a  $(0, 0)$ . Si ottiene quindi il ritratto di fase in figura 2a.

Se invece  $\mu < 0$ , allora  $\dot{\rho}$  cambia segno. Esiste infatti  $\bar{\rho}(\mu)$  per cui

$$\rho \left( \log_2(1 + \rho^2) + \mu + \rho \right) \begin{cases} < 0, & \text{se } \rho \in (0, \bar{\rho}(\mu)) \\ = 0, & \text{se } \rho = \bar{\rho}(\mu) \\ > 0, & \text{se } \rho > \bar{\rho}(\mu) \end{cases}$$

Quindi  $(0, 0)$  è un punto fisso di tipo fuoco e asintoticamente stabile, esiste poi un'orbita periodica instabile per  $\rho = \bar{\rho}(\mu)$ , e tutte le condizioni iniziali con  $\rho_0 > \bar{\rho}(\mu)$  portano a una soluzione che per  $t \rightarrow +\infty$  tende all'infinito con moto a spirale. Si ottiene quindi il ritratto di fase in figura 2b.

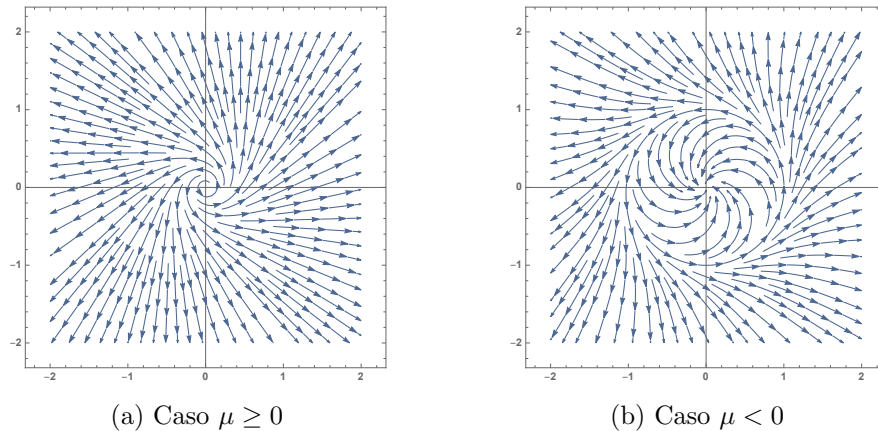


Figure 2

(ii) Fissato  $\mu = -2$ , indicando con  $(x(t, (1, 0)), y(t, (1, 0)))$  la soluzione del sistema con condizione iniziale  $(x_0, y_0) = (1, 0)$  al tempo  $t$ , determinare  $(x(3\pi, (1, 0)), y(3\pi, (1, 0)))$ .

Nel caso particolare  $\mu = -2$ , osserviamo innanzitutto che siamo nella situazione in cui esiste un'orbita periodica instabile, e possiamo facilmente ricavare che  $\bar{\rho}(-2) = 1$ . Quindi la condizione iniziale  $(x_0, y_0) = (1, 0)$  si trova esattamente sull'orbita periodica. Quindi, in coordinate polari,

stiamo cercando la soluzione del problema di Cauchy

$$\begin{cases} \dot{\rho} = \rho \left( \log_2(1 + \rho^2) + \mu + \rho \right) \\ \dot{\theta} = 1 \\ \rho_0 = 1 \\ \theta_0 = 0 \end{cases}$$

che è quindi

$$\rho(t) = 1 \quad \theta(t) = t$$

Per  $t = 3\pi$  si ha  $(\rho(3\pi), \theta(3\pi)) = (1, 3\pi)$ , e quindi  $(x(3\pi, (1, 0)), y(3\pi, (1, 0))) = (-1, 0)$ .

**Esercizio 3.** Dato l'intervallo  $[0, 1]$ , si consideri la partizione  $\mathcal{J} = \{J_1, J_2, J_3\}$  con  $J_1 = [0, \frac{1}{3}]$ ,  $J_2 = [\frac{1}{3}, \frac{2}{3}]$  e  $J_3 = [\frac{2}{3}, 1]$ , e la funzione  $f : [0, 1] \rightarrow [0, 1]$  definita da

$$f(x) = \begin{cases} 1 - 2x, & x \in J_1 \\ \frac{2}{3} - x, & x \in J_2 \\ x - \frac{2}{3}, & x \in J_3 \end{cases}$$

(i) Costruire l' $f$ -grafo di  $\mathcal{J}$ .

Disegniamo innanzitutto il grafico di  $f$ , ottenendo quello nella figura 3.

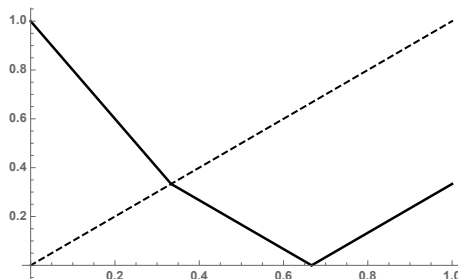


Figure 3: Il grafico di  $f$ .

Si ottiene quindi che  $J_1$  ricopre  $J_2$  e  $J_3$ , mentre  $J_2$  ricopre  $J_1$ , e anche  $J_3$  ricopre  $J_1$ . In definitiva si ottiene l' $f$ -grafo in figura 4.

(ii) Dire se esiste un'orbita periodica di periodo minimo 5.

Non possono esistere orbite di periodo dispari, come si vede usando l' $f$ -grafo, o semplicemente ragionando sul fatto che, a parte il punto fisso, ogni orbita da  $J_1$  può tornare in  $J_1$  solo con un numero pari di iterazioni, e lo stesso vale per  $J_2$  e  $J_3$ .

(iii) Dire se esiste un'orbita periodica di periodo minimo 20.

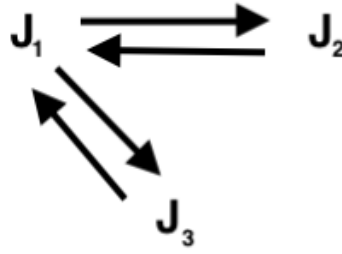


Figure 4:  $L'f$ -grafo di  $\mathcal{J}$ .

Essendo la funzione  $f$  continua su  $[0, 1]$  possiamo applicare il Teorema di Sharkovskii. In particolare, usando l' $f$ -grafo, otteniamo l'esistenza del cammino ammissibile

$$J_1 J_2 J_1 J_3 J_1 J_2 J_1$$

e quindi otteniamo l'esistenza di un punto  $x \in J_1$  tale che  $f^6(x) = x$ . Dal tipo di cammino trovato, è immediato ottenere che  $x$  rappresenta un punto periodico di periodo minimo 6. Quindi per il Teorema di Sharkovskii, esiste un'orbita periodica di periodo minimo  $n$  per ogni  $n \prec 6$  nell'ordinamento di Sharkovskii. Poiché 6 è il numero pari più grande in questo ordinamento, abbiamo dimostrato l'esistenza di orbite periodiche di periodo minimo  $n$ , per ogni numero pari  $n$ , e dunque anche per  $n = 20$ .